



## زمین دما - فشارسنجی و سنگ‌زایی پریدوتیت‌های منطقه چهار دهنه، کرانه غربی پهنه مکران، استان هرمزگان

آرش خیابانی مقدم، محمد پوستی\*، غلامرضا قدمی

گروه زمین‌شناسی، دانشکده علوم، دانشگاه هرمزگان، بندرعباس

(دریافت مقاله: ۹۸/۷/۱، نسخه نهایی: ۹۸/۱۱/۵)

**چکیده:** منطقه چهار دهنه در جنوب شرق ایران بخشی از افیولیت‌های مزوزوئیک کمربند کوهزایی آلپ-همیالایاست که در جنوب غربی کرانه پهنه فرورانش مکران قرار دارد. چهاردهنه شامل سه بخش سنگ شناسی عدسی‌های دونیتی، هارزبورژیت و لرزولیت است. اسپینل موجود در دونیت‌ها و لرزولیت‌ها از نوع پالئونست آهن‌دار است. اسپینل موجود در لرزولیت‌ها با غنی‌شدگی از  $Al^{3+}$  نسبت به  $Fe^{3+}$  بیانگر تبلور آنها در گریزندگی اکسیژن کمتر و فشار بیشتری نسبت به اسپینل‌های دونیت‌ها هستند. الیون‌های دونیت و لرزولیت‌ها از نوع فورستریت با  $Mg\#$  برابر با ۸۸-۹۱ است. برپایه شیمی کانی کلینوپیروکسن در هارزبورژیت‌ها، این کانی از یک ماگما با آب ۱۰ درصد و در فشار ۵ کیلوبار در دمای  $1100 - 1200$  °C متبلور شده است. پریدوتیت‌های چهاردهنه از نوع ابرفرورانش وابسته به یک گوشته دگرنهاده در محیط کششی پشت قوس هستند.

**واژه‌های کلیدی:** افیولیت؛ پریدوتیت؛ کلینوپیروکسن؛ الیون؛ چهار دهنه؛ مکران.

### مقدمه

[۳] نیز در قالب پایان نامه کارشناسی ارشد زمین‌شیمیایی و خاستگاه سنگ‌های فرامافیک کوه گروم رودان را بررسی کرده و پریدوتیت‌های نوع ابرفرورانش را در منطقه گزارش نمود. سکانی و همکاران [۴] ریزفسیل‌ها و نیز سنگ‌های آتشفشانی آمیزه‌های رنگین را بررسی کرده و آنها را براساس سن ریزفسیل‌ها از نظر چینه‌شناسی رده‌بندی کرده و سنگ‌های ماگمایی کرانه فعال قاره‌ای را گزارش نمودند. با توجه به بررسی‌های کم و پراکنده در منطقه، در این پژوهش روابط سنگ‌شناسی و خویشاوندی دونیت‌های دربرگیرنده لرزولیت‌ها و هارزبورژیت‌های همراه بررسی شد، و سنگ‌زایی واحد پریدوتیتی براساس یافته‌ها بررسی گردید.

### جایگاه زمین‌شناسی

منطقه مورد بررسی در بخش غربی نقشه زمین‌شناسی ۱:۲۵۰،۰۰۰ چهارگوش میناب [۵] واقع است. منطقه چهار دهنه از نظر جغرافیایی در شمال شهرستان رودان و دشت

منطقه مکران شامل توده‌هایی با روند شرقی - غربی است که از سواحل دریای عمان تا فروافتادگی جازموریان ادامه دارد. مرز غربی این کوه‌ها توسط گسل میناب از پهنه برخوردی زاگرس جدا می‌شود و در شرق پس از گذر از بلوچستان پاکستان توسط گسل‌های چپگرد چمن و اورناچ نال کنترل می‌شود. این پهنه نماینده یک پهنه ترادیمی بین پهنه فرورانش مکران و پهنه برخوردی هند-اوراسیاست. از دیدگاه زمین‌شناسی، پهنه مکران یک زمین درز کهن است که به شکل یک منشور برافزایشی از کرتاسه پسین یا ترشیری پیشین تا عهد حاضر در فرادیاره یک پهنه فرورانش کم‌ژرفا قرار دارد [۱]. تا کنون، پژوهش‌هایی پیرامون منطقه مکران انجام شده است، از جمله صفایی [۲] در قالب پایان نامه کارشناسی ارشد، کانسار کرومیت فاریاب را از نظر زمین‌شیمیایی و زمین‌شناسی بررسی کرده و کانسارهای کرومیت نوع آلیی را گزارش نمود. صالحی

\*نویسنده مسئول، تلفن-نمابر: ۰۷۶۳۳۷۱۱۰۳۰، پست الکترونیکی: m.poosti@yahoo.com

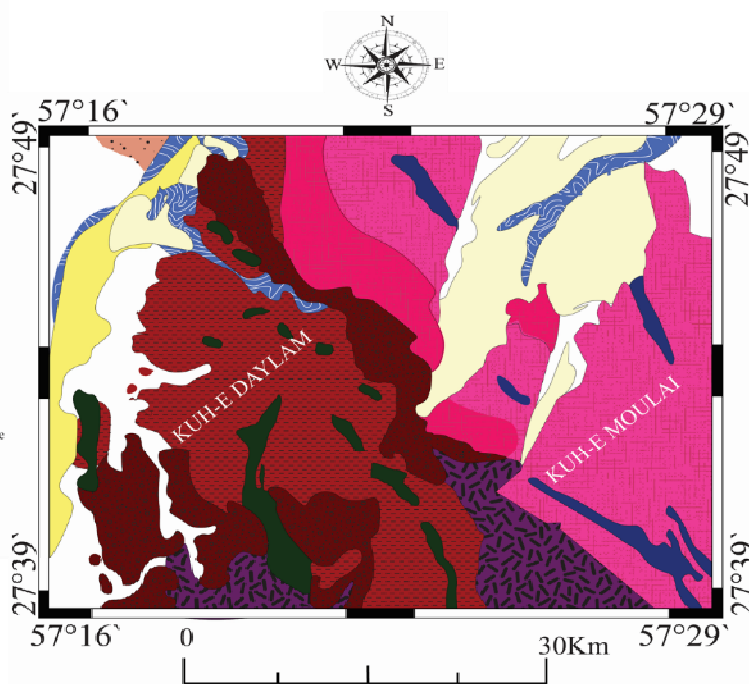
هارزبورژیت، دونیت و لرزولیت هستند (شکل‌های ۱ الف و ۲ ب، پ). هارزبورژیت‌ها با رنگ قهوه‌ای تیره در سطح هوازده و پستی و بلندی خشن و زاویه‌دار با دونیت‌ها دارای برخوردگاه تیز هستند. عدسی‌های دونیتی قطعه‌های کوچک لرزولیت‌ها را دربرگرفته‌اند و بر اثر فعالیت‌های شدید زمین‌ساختی، توده‌های نام برده گسلیده شده و نیز دستخوش دگرسانی بستر اقیانوسی شده‌اند (شکل‌های ۲ الف و ت).

رودان، بین طول‌های جغرافیایی ۵۷°۱۵' تا ۵۷°۳۰' شرقی و عرض‌های جغرافیایی ۲۷°۱۵' تا ۲۷°۳۰' شمالی قرار دارد (شکل ۱). منطقه مورد بررسی در جنوب توسط گسل دستجرد از مجموعه سرخ بند و در شمال توسط گسل رودان از مجموعه دگرگونی بجان مجزا شده است [۶].  
براساس پیمایش‌های صحرائی و بررسی‌های نقشه‌ای، سنگ‌های منطقه شامل سه گروه سنگی به ترتیب فراوانی

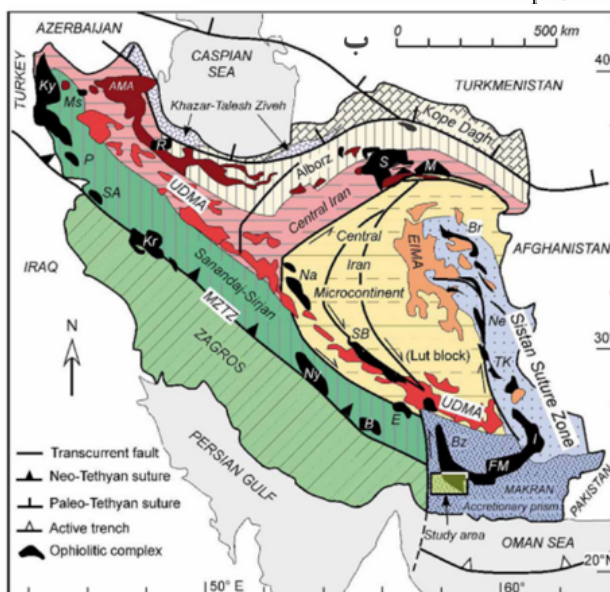
## Legend

الف

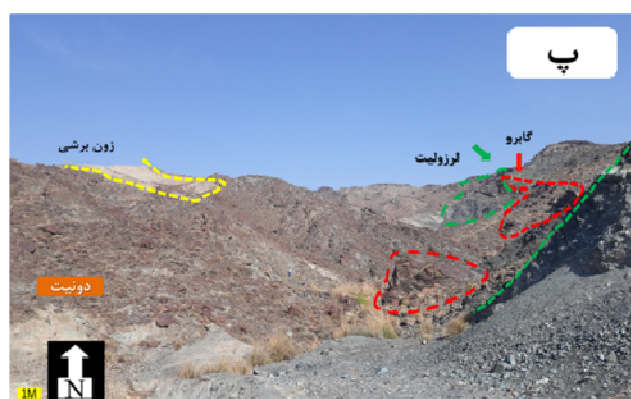
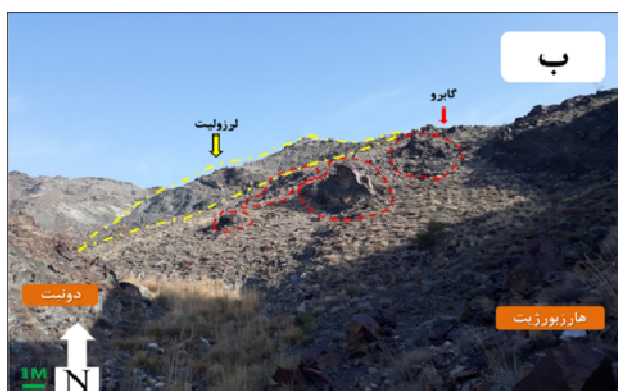
	Quaternary deposit, Silty outwash deposit
	Quaternary deposit, low level pediment fan and valley terras deposit
	Quaternary deposit, high level pediment fan and valley terras deposit
	Upper Cretaceous, Basic schiststone, phyllite with minor platic schist
	Upper Cretaceous, Basic schiststone, phyllite Platic schist, Psammitic schist and recrystallized limston and marble
	Upper Cretaceous, recrystallized limestone and marble and with minor pelitic schist
	Cretaceous, Serpentinite and serpentinized dunite and peridotites
	Cretaceous, SEDIMENTARY ASSOCIATION- sand sone, siltstone, limestone, radiolarian chert, phyllite
	Cretaceous, BASIC ASSOCIATION- basalt and basaltic andesite pillow lava, either volcanic minor sediment, phyllite and intrusive rocks
	Cretaceous, undifferentiated plagic and recrystallized limestone with minor radiolarian chert
	Pliocene, Palami conglomerate



Map Scale



شکل ۱ الف) نقشه زمین‌شناسی منطقه چهار دهنه و ب) نقشه تقسیم پهنه‌های ساختاری ایران برگرفته از مرجع [۳] که منطقه مورد بررسی با مستطیل زرد رنگ مشخص شده است.



شکل ۲ (الف) دونیت‌های منطقه چهاردهنه در سطح هوازده و تازه، (ب) دور نمای منطقه که واحدهای سنگی با خطوط رنگی از هم تفکیک شده‌اند، (پ) دور نمای کلی منطقه و پهنه برشی ناشی از فعالیت‌های زمین‌اختی در دونیت‌ها و (ت) شواهد فعالیت‌های دگرسانی بستر اقیانوسی و رگچه‌های سرپانتینی در پریدوتیت‌های منطقه چهاردهنه.

### روش پژوهش

به منظور تعیین ترکیب شیمیایی کانی‌های تشکیل دهنده سنگ‌های فرامافیک منطقه چهاردهنه، چهار نمونه از سنگ‌های منطقه برای تجزیه نقطه‌ای ریزپردازشی به آزمایشگاه کانی‌شناسی شرکت کانساران بینالود ارسال شدند. ۱۸ نقطه نیز به روش ریزپردازش با کاوشگر پرتوی X (XPMA) با دستگاه HORIBA, XGT-7200 (با ولتاژ شتاب دهنده ۵۰ کیلوولت و شمارش ۸۰ ثانیه) تجزیه شدند. در سنگ‌های ابرمافیک توالی گوشته‌ای فرامافیک منطقه چهار دهنه، هیچ گونه بلور پلاژیوکلازی وجود ندارد و فازهای سیلیکاتی عمده موجود در این سنگ‌ها بیشتر الیوین، پیروکسن و کانی فرعی اسپینل کروم دار هستند (جدول‌های ۱-۳).

### سنگ‌نگاری

#### دونیت‌ها

دونیت‌ها تقریباً ۴۰ درصد از سنگ‌های مورد بررسی در منطقه چهار دهنه رودان را شامل می‌شوند. براساس مرجع [۷]، دونیت‌ها در واقع فراورده نهایی یک سامانه سه‌تایی Fo-Di-En

هستند. در این مدل، ترکیب در نقطه هم‌گذاری لرزولیتی است و با پیشرفت فرآیند ذوب‌بخشی، نخست مقدار کلینوپیروکسن و سپس ارتوپیروکسن در مذاب باقی مانده کاهش می‌یابد و سرانجام مذاب باقی مانده سرشار از الیوین و مقدار کمی ارتوپیروکسن و کلینوپیروکسن است. از این رو، دونیت‌ها با مودال بالای کانی الیوین (بیش از ۷۵ درصد وزنی) در مقایسه با هارزبورژیت‌ها و لرزولیت‌ها در برابر فرآیندهای فرسایشی و دگرسانی ناپایدارتر هستند و به راحتی در اثر هوازدگی و نیروهای زمین‌ساختی، دستخوش درجه‌های بالاتری از سرپانتینی شدن می‌شوند. کانی‌های تشکیل دهنده دونیت‌ها شامل الیوین (بیش از ۸۵٪ حجمی)، ارتوپیروکسن (۲ تا ۳٪ حجمی)، کروم اسپینل (۵٪ حجمی) و کانی‌های سرپانتین، طلق و کلریت هستند. بافت دونیت‌ها بیشتر دانه شکفتی است (شکل ۳ الف) و در برخی مقاطع دورتر از پهنه‌های برشی که کمتر در معرض فعالیت‌های دگرسانی قرار گرفته‌اند، بافت دانه-ای نیز دیده می‌شود.

جدول ۱ نتایج تجزیه نقطه‌ای کانی کلینوپیروکسن (برحسب درصد وزنی)

نمونه	A127bp7	A127bp6	A127bp5	A127bp4	A127bp3	A127bp2	A127
سنگ	لرزولیت	لرزولیت	لرزولیت	لرزولیت	هارزبورژیت	هارزبورژیت	هارزبورژیت
SiO <sub>2</sub>	۴۶،۶۲	۴۵،۷۳	۴۷،۵۸	۴۷،۳۳	۴۶،۱۹	۴۵،۵۸	۴۵،۳۱
TiO <sub>2</sub>	۰	۰،۱۴	۰،۰۳	۰،۱۴	۰،۱۲	۰،۰۹	۰،۱
Al <sub>2</sub> O <sub>3</sub>	۰،۹۷	۱،۳۳	۱،۵۹	۱،۴۴	۱،۲۴	۰،۹۱	۰،۸۵
Cr <sub>2</sub> O <sub>3</sub>	۱،۰۸	۱،۱۷	۱،۱۳	۱،۱۶	۱،۰۷	۱،۲۵	۱،۲۸
FeO	۶،۰۶	۶،۱۲	۵،۹۵	۵،۵۱	۶،۲۲	۶،۳۱	۷،۰۱
MnO	۰،۲۸	۰،۲۲	۰،۲۴	۰،۲	۰،۲۶	۰،۲۴	۰،۲۴
MgO	۱۳،۹۸	۱۶،۱۸	۱۳،۸۸	۱۳،۱۳	۱۵،۱۵	۱۲،۶۱	۱۴،۴۶
CaO	۳۰،۹۵	۲۸،۹۱	۲۹،۵۱	۳۰،۹۸	۲۹،۶۳	۳۲،۰۸	۳۰،۷۳
Na <sub>2</sub> O	۰	۰	۰	۰	۰	۰	۰
مجموع	۹۹،۹۶	۹۹،۹۵	۹۹،۹	۹۹،۸۹	۹۹،۹۷	۹۹،۰۲	۱۰۰
کاتیون‌ها براساس ۶ اتم اکسیژن							
Si	۱،۷۸۷	۱،۷۴۸	۱،۸۰۹	۱،۸۰۶	۱،۷۶۷	۱،۷۷۶	۱،۷۴۸
Ti	۰	۰،۰۰۴	۰،۰۰۱	۰،۰۰۴	۰،۰۰۳	۰،۰۰۳	۰،۰۰۳
Al	۰،۰۴۴	۰،۰۶	۰،۰۷۱	۰،۰۶۵	۰،۰۵۶	۰،۰۴۲	۰،۰۳۹
Cr	۰،۰۳۳	۰،۰۳۵	۰،۰۳۴	۰،۰۳۵	۰،۰۳۲	۰،۰۳۹	۰،۰۳۹
Fe <sub>3</sub>	۰،۰۹۷	۰،۰۹۹	۰،۰۹۴	۰،۰۸۷	۰،۱	۰،۱۰۱	۰،۱۱۲
Fe <sub>2</sub>	۰،۰۸۸	۰،۰۹	۰،۰۸۵	۰،۰۷۹	۰،۰۹۱	۰،۰۹۲	۰،۱۰۲
Mn	۰،۰۰۹	۰،۰۰۷	۰،۰۰۸	۰،۰۰۶	۰،۰۰۸	۰،۰۰۸	۰،۰۰۸
Mg	۰،۷۹۹	۰،۹۲۲	۰،۷۸۷	۰،۷۴۷	۰،۸۶۴	۰،۷۳۲	۰،۸۳۲
Ca	۱،۲۷۱	۰،۱۸۴	۱،۲۰۲	۱،۲۶۷	۱،۲۱۴	۱،۳۳۹	۱،۲۷۱
Na	۰	۰	۰	۰	۰	۰	۰
Tot.cat	۴،۱۲۷	۴،۱۵	۴،۹۱	۴،۹۶	۴،۱۳۶	۴،۱۳۱	۴،۱۵۴
Wo	۵۶،۳۹	۵۱،۵۸۲	۵۵،۴۶۶	۵۸،۱۱۱	۵۳،۵۲	۵۹،۱۴۲	۵۴،۸۴۱
En	۳۵،۴۴۱	۴۰،۱۶۸	۳۶،۳	۳۴،۲۶۸	۳۸،۰۷۶	۳۲،۳۴۶	۳۵،۹۰۶
Fs	۸،۱۶۹	۸،۲۵۱	۸،۲۳۴	۷،۶۲۱	۸،۴۰۵	۸،۵۱۲	۹،۲۵۳
Al(TZ)	۰،۰۴۳۸	۰،۰۵۹۹	۰،۰۷۱۳	۰،۰۶۴۸	۰،۰۵۵۹	۰،۰۶۱۸	۰،۰۳۸۷

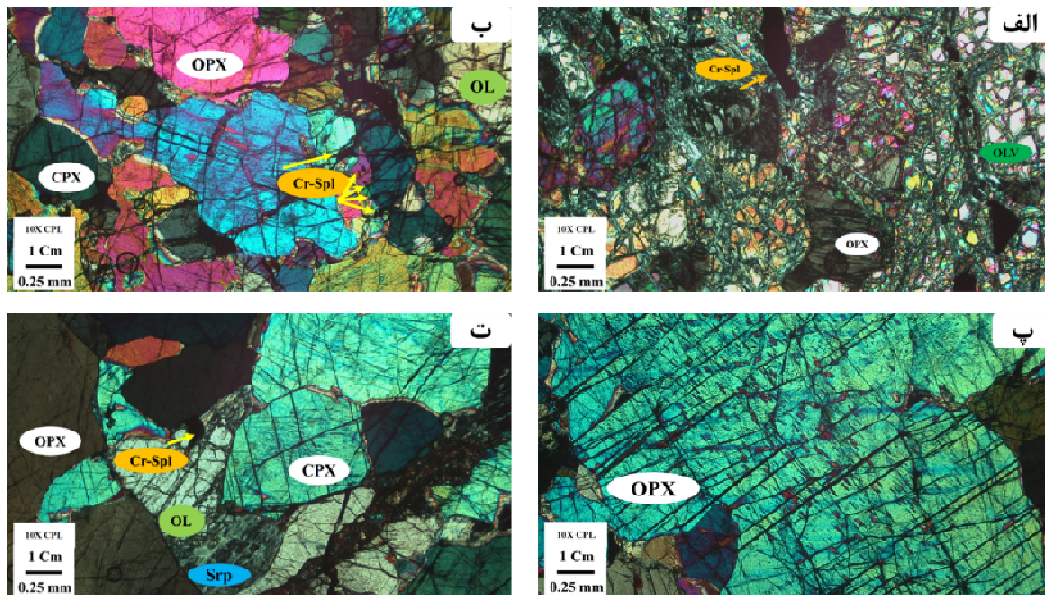
جدول ۲ نتایج تجزیه نقطه‌ای کانی الیون.

نمونه	A127P13	A106P13	A106P5	A106P3	A106P4	A106P14
سنگ	لرزولیت	لرزولیت	لرزولیت	دونیت	دونیت	دونیت
SiO <sub>2</sub>	۴۸،۶۵	۳۸،۳۸	۳۹،۹۳	۳۸،۹۶	۵۲،۷۱	۳۵،۹۸
TiO <sub>2</sub>	۰	۰	۰	۰	۰،۰۹	۰
Al <sub>2</sub> O <sub>3</sub>	۰	۰	۰	۰	۲،۵۲	۰
Cr <sub>2</sub> O <sub>3</sub>	۰	۰	۰	۰	۰،۷۶	۰
FeO	۱۰،۶۶	۱۶،۷۱	۱۶،۳۵	۱۷،۴۸	۱۵،۱۳	۱۷،۷۹
۴۵،۳۱	۰،۳۲	۰،۲۷	۰،۲۶	۰،۲۵	۰،۲۹	۰،۲۴
MgO	۳۹،۵۱	۴۳،۶۳	۴۲،۲۲	۴۱،۹۹	۲۹،۶۹	۴۵،۳۱
CaO	۰،۵۶	۰،۱۸	۰،۲۱	۰،۵۴	۱،۱۹	۰،۱۹
مجموع	۹۹،۷۲	۹۹،۱۹	۹۸،۹۹۴	۹۸،۹۷۱	۹۹،۴۴۸	۹۹،۰۴۶
اعضای نهایی						
Te	۰،۴۰۱	۰،۲۹۱	۰،۲۸۹	۰،۲۷۵	۰،۴۴۳	۰،۲۴۹
Fo	۸۷،۱۵۹	۸۲،۶۶۲	۸۲،۴۶۵	۸۱،۲۹۲	۷۹،۸۶۴	۸۲،۷۳۳
Fa	۱۱،۵۵۲	۱۶،۸۰۳	۱۶،۹۵۲	۱۷،۶۸۲	۱۷،۳۹۲	۱۶،۷۶۹
Ca-OI	۰،۸۸۸	۰،۲۴۵	۰،۲۹۵	۰،۷۵۱	۲،۳۰۱	۰،۲۴۹
کاتیون‌ها براساس ۴ اتم اکسیژن						
Si	۱،۱۵۹	۰،۹۶۶	۱،۰۰۱	۰،۹۸۳	۱،۲۴۹	۰،۹۱۶
Ti	۰	۰	۰	۰	۰،۰۰۲	۰
Al	۰	۰	۰	۰	۰،۰۰۷	۰
Cr	۰،۰۱۵	۰	۰	۰	۰،۰۱۴	۰
Fe <sub>3</sub>	۰،۰۹۸	۰،۱۷۴	۰،۱۷	۰،۱۸	۰،۱۲	۰،۱۸۲
Fe <sub>2</sub>	۰،۰۸۸	۰،۱۵۹	۰،۱۵۴	۰،۱۶۴	۰،۱۰۹	۰،۱۶۶
Mn	۰،۰۰۶	۰،۰۰۶	۰،۰۰۶	۰،۰۰۵	۰،۰۰۶	۰،۰۰۵
Mg	۱،۴۰۳	۱،۶۳۷	۱،۵۷۸	۲،۱۱۸۶	۱،۰۴۸	۰،۷۱۹
Ca	۰،۰۱۴	۰،۰۰۵	۰،۰۰۶	۰،۰۱۵	۰،۰۳	۰،۰۰۵
Tot.cat	۲،۷۸۴	۲،۹۴۷	۲،۹۱۴	۲،۹۲۷	۲،۶۴۸	۲،۹۹۳
MG#	۸۸،۰۷	۸۹،۱۶۲	۸۷،۰۸۷	۹۰،۶۱۶	۹۰،۶۰۵	۹۱،۱۹۷



جدول ۳ نتایج تجزیه نقطه‌ای کانی اسپینل.

نمونه	A127P3	A127P2R	A127CP1	A103P10	A103P8	A103P5R
سنگ	لرزولیت	لرزولیت	لرزولیت	دونیت	دونیت	دونیت
SiO <sub>2</sub>	۳,۶۳	۳,۴۱	۶,۹۲	۵,۰۸	۲۴,۴۷	۸,۷۵
TiO <sub>2</sub>	۰,۱۳	۰,۰۴	۰,۰۵	۰,۱۲	۰,۱۵	۰,۱۱
Al <sub>2</sub> O <sub>3</sub>	۲۰,۵۵	۲۲,۵	۱۵,۳۹	۱۹,۴۶	۹,۳۱	۱۰,۶۱
Cr <sub>2</sub> O <sub>3</sub>	۲۴,۶۹	۲۶,۴۹	۲۲,۳۲	۳۰,۶۴	۲۰,۰۳	۲۵,۶۹
FeO	۳۶,۲۴	۳۲,۹۶	۳۹,۶۱	۳۰,۳۵	۲۹,۱۱	۴۱,۱۶
MnO	۰	۰,۲	۰,۱	۰	۰,۲۲	۰
MgO	۱۳,۷۵	۱۳,۳۲	۱۴,۶۵	۱۵,۳۱۱	۱۶,۱۳	۱۱,۶۲۸
total	۹۸,۹۹	۹۹,۰۹	۹۹,۷۴	۹۸,۳۵	۱۰۰	۹۸,۱۹
کاتیون بر اساس ۴ اتم اکسیژن						
Si	۰,۱۱۲	۰,۱۰۴	۰,۲۱۴	۰,۱۵۶	۰,۶۸۱	۰,۲۷۹
Ti	۰,۰۰۳	۰,۰۰۱	۰,۰۰۱	۰,۰۰۳	۰,۰۰۳	۰,۰۰۳
Al	۰,۷۴۷	۰,۸۰۹	۰,۵۶۲	۰,۷۰۴	۰,۳۰۶	۰,۳۹۹
Cr	۰,۶۰۲	۰,۶۳۹	۰,۵۴۷	۰,۷۴۴	۰,۴۴۱	۰,۶۴۸
Fe <sup>3+</sup>	۰,۴۶۳	۰,۴۱۸	۰,۵۱۱	۰,۳۹۹	۰,۲۷۱	۰,۵۵۱
Fe <sup>2+</sup>	۰,۴۲۱	۰,۳۸	۰,۴۶	۰,۳۴۴	۰,۲۸	۰,۵۰۱
Mn	۰	۰,۰۰۵	۰,۰۰۳	۰	۰,۰۰۵	۰
Mg	۰,۶۳۲	۰,۶۰۶	۰,۶۷۷	۰,۵۶۸	۰,۶۷	۰,۵۳۸
Tot,cat	۲,۹۷۹	۲,۹۶۲	۲,۹۷۴	۲,۹۱۸	۲,۷۵۷	۲,۹۱۹
Mg#	۰,۶	۰,۶۱۵	۰,۵۹۶	۰,۶۲۳	۰,۷۰۵	۰,۵۱۸
Fe#	۳۹,۹۵۲	۳۸,۵۰۸	۴۰,۴۴۳	۳۷,۶۹۳	۲۹,۵۲	۴۸,۲
Fe <sup>3+</sup>	۲۵,۵۴۲	۲۲,۳۷۵	۳۱,۵۴۱	۲۱,۵۹۴	۳۳,۱۹۲	۲۴,۴۷۱
Cr#	۴۴,۶۲۹	۴۴,۱۲۸	۴۹,۳۱۴	۵۱,۳۶۸	۵۹,۰۷۱	۶۱,۸۶۵
Mg#	۶۰,۰۴۸	۶۱,۴۹۲	۵۹,۵۵۷	۶۲,۳۰۷	۷۰,۴۸	۵۱,۸



شکل ۳ تصاویر میکروسکوپی الف) یک سنگ دونیت با بافت دانه‌شکفتی بر اثر دگرسانی شدید در دونیت‌ها، ب) یک سنگ هارزبورژیت با حضور درشت بلورهای ارتوپروکسن با میان‌بهارهای بی شکل کانی کروم اسپینل و آثار خاموشی موجی بر اثر وجود فشارهای زمین ساختی طی تشکیل کانی‌ها، پ) زمین ساختی ارتوپروکسن دربردارنده تیغه‌های جدایشی از جنس کلینوپروکسن در یک نمونه هارزبورژیت و ت) یک نمونه لرزولیت با کلینوپروکسن‌های نیمه خودشکل و کانی ثانویه سرپانتین همه تصاویر در نور قطبیده متقاطع ثبت شده‌اند.

## هارزبورژیت‌ها

هارزبورژیت‌ها بخش عمده‌ای از سنگ‌های منطقه چهاردهنه را تشکیل می‌دهند و از نظر شکل ساختاری دارای ستیخ‌های تیز با دامنه‌های پرشیب هستند. بافت هارزبورژیت‌ها بیشتر دانه‌ای و دربردارنده بلورهای خود شکل تا نیمه خود شکل اولیوین (۴۰ درصد حجمی) و ارتوپروکسن (۳۰ درصد حجمی) هستند و کانی فرعی کروم‌اسپینل (۱۵ درصد حجمی) به صورت نیمه خود شکل و بی‌شکل و گاهی به صورت میانبار در کانی پروکسن دیده می‌شود (شکل ۳ ب). دگرسانی در برخی از سطوح نزدیک به درزه‌ها پیشرفته‌تر بوده و آثار رگچه‌های سریانتینی شده و تبلور کانی‌های ثانویه نیز مشهود است. از دیگر پدیده‌های موجود در ارتوپروکسن‌ها، آثار تیغه‌های جدایشی به احتمال بسیار از جنس کلینوپروکسن بر روی سطح کانی ارتوپروکسن است (شکل ۳ پ).

## لرزولیت‌ها

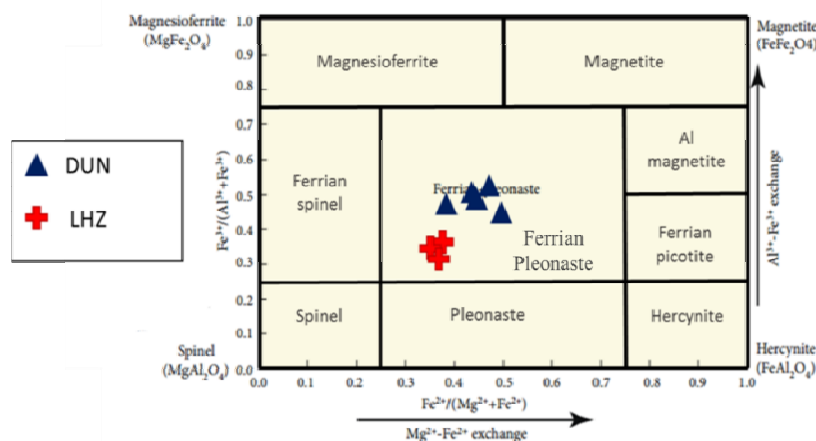
لرزولیت‌ها گروهی از سنگ‌های گوشته هستند که گمان می‌رود که بخشی عمده‌ای از گوشته از سنگی با چنین ترکیب کانی-شناسی تشکیل شده است [۷]. لرزولیت‌های منطقه چهاردهنه دارای حدود ۴۰-۴۵ درصد الیوین، ۳۰-۳۵ درصد ارتوپروکسن و ۱۰-۱۵ درصد کلینوپروکسن کلسیم-کروم دار هستند (شکل ۳ ت). در صورتی که کانی آلومینیوم‌دار موجود در سنگ گارنت باشد، آن سنگ گارنت لرزولیت نامیده می‌شود، اما اگر کانی سرشار از آلومینیوم اسپینل باشد، نام اسپینل لرزولیت را برای سنگ در نظر می‌گیرند [۷]. لرزولیت‌های مورد بررسی به دلیل حضور کانی اسپینل لرزولیت نامیده می‌شوند. سطح تازه لرزولیت‌ها به دلیل وجود کانی‌های گروه پروکسن و الیوین به رنگ سبز زیتونی تیره تا مایل به سیاه قابل شناسایی است و بافت آنها بیشتر دانه‌ای است. لرزولیت‌ها

در منطقه چهاردهنه بصورت توده‌های کوچک پراکنده ۳-۷ متری رخنمون دارند (شکل ۲ پ).

## شیمی کانی

## اسپینل

اسپینل ( $MgAl_2O_4$ ) و هرسینیت ( $FeAl_2O_4$ ) اعضای انتهایی یک محلول جامد غنی از آلومینیوم گروه کانی‌های اسپینل هستند که به ندرت بصورت خالص در طبیعت یافت می‌شوند. از طرفی، اگر نسبت تبادل یون  $Fe^{2+}$  با  $Mg^{2+}$  در این محلول جامد ۱ به ۳ باشد، کانی اسپینل تشکیل شده پالئونست نام دارد [۸]. میانگین مقدار  $FeO$  در کانی اسپینل موجود در لرزولیت‌ها ۲۵٫۲۸ درصد وزنی و در دونیت‌ها با مقداری افزایش ۳۳٫۵۴ درصد وزنی است. در این راستا، میانگین مقدار  $Al_2O_3$  در اسپینل‌های موجود در لرزولیت‌ها ۱۹٫۴۸ درصد وزنی و در دونیت‌ها با کمی کاهش ۱۳٫۱۲ درصد وزنی است. باتوجه به غنی‌شدگی اسپینل موجود در دونیت‌ها از  $Fe$ ، می‌توان گفت که یون  $Fe^{3+}$  طی پیشرفت ذوب‌بخشی و کاهش فشار از مذاب خارج شده و در ساختار کانی اسپینل قرار می‌گیرد. غنی‌شدگی اسپینل‌های موجود در دونیت‌ها از یون  $Fe$  نشانگر تشکیل آنها در فشار کمتر (اعماق کمتر) و گریزندگی بیشتر اکسیژن است، اما اسپینل‌های موجود در لرزولیت‌ها با غنی‌شدگی از یون  $Al^{3+}$  (شکل ۴) بیانگر تشکیل لرزولیت‌ها در فشار بالاتر (اعماق بیشتر) و گریزندگی کمتر اکسیژن است (شکل ۱ الف). در این محلول جامد، جانشینی کانی اسپینل به این صورت است که در قسمت‌های عمیق‌تر گوشته به دلیل فشار بیشتر و گریزندگی کمتر اکسیژن عنصر  $Al$  جایگاه  $Fe$  را در ساختار کانی اسپینل اشغال میکند و طی صعود پدیدتیت‌ها به بالا که با کاهش فشار و افزایش گریزندگی اکسیژن همراه است، یون  $Fe$  جایگاه  $Al$  را اشغال می‌کند [۹].



شکل ۴ نمودار تعیین نوع اسپینل‌ها [۹] که براساس آن اسپینل‌های موجود در دونیت‌ها و لرزولیت‌ها در گستره پالئونست آهن‌دار قرار دارند.

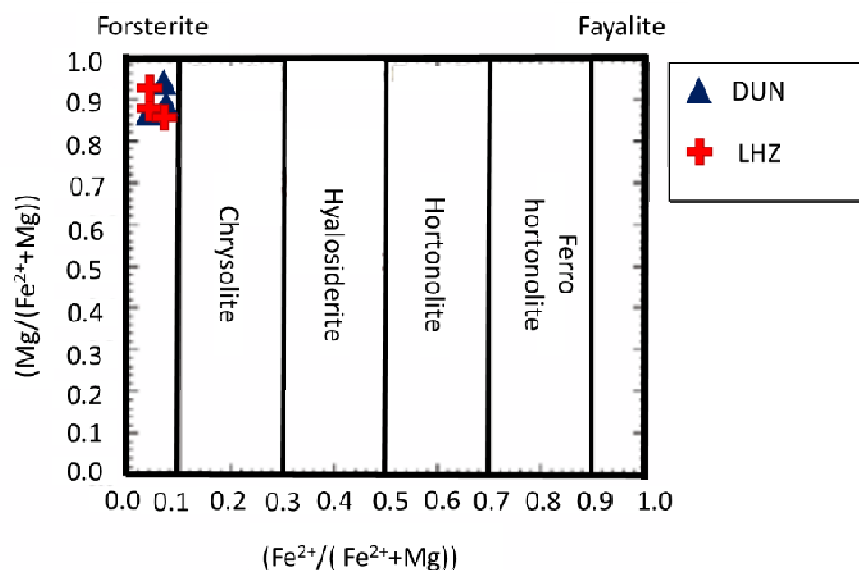
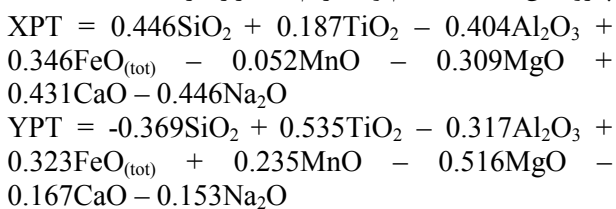
## الیون

بر پایه نمودار مرجع [۱۰]، ترکیب شیمیایی الیون‌های موجود در دونیت‌ها و لرزولیت‌های منطقه چهار دهنه، از جمله MnO با درصد وزنی ۰٫۲۳ تا ۰٫۲۳ و Mg# برابر با ۸۸-۹۱ و مقدار FeO برابر با ۱۷-۱۰ درصد وزنی، همه از نوع فورستریت هستند (شکل ۵). استفاده از نمودار عدد منیزیم موجود در الیون‌ها نسبت به عدد کروم کانی اسپینل روش خوبی برای تعیین خاستگاه سنگ است که در ادامه توضیح داده می‌شود.

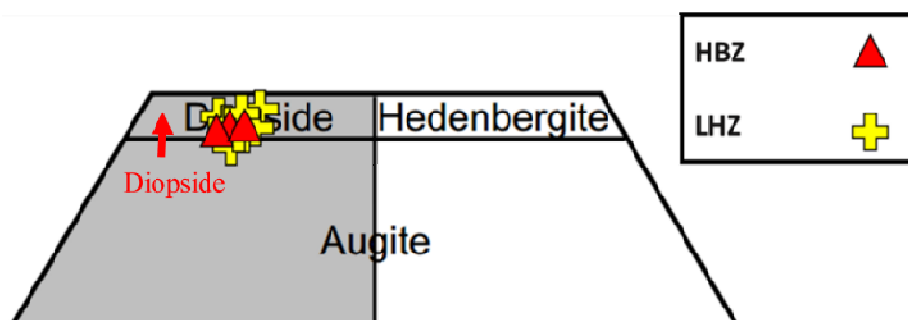
## کلینوپروکسن

فرمول ساختاری کلینوپروکسن‌ها و ارتوپروکسن‌ها محاسبه شده بر اساس ۴ کاتیون برای ۶ اکسیژن به ترتیب  $(\text{Mg}, \text{Fe}^{2+}, \text{Ca}, \text{Na})$   $(\text{Mg}, \text{Fe}^{2+}, \text{Fe}^{3+}, \text{Al})$   $(\text{Si}, \text{Al})_2\text{O}_6$  و  $(\text{Mg}, \text{Fe}^{2+}, \text{Ca}, \text{Na})$   $(\text{Mg}, \text{Fe}^{2+}, \text{Fe}^{3+}, \text{Al})$   $(\text{Si}, \text{Al})_2\text{O}_6$  هستند. Mg# کلینوپروکسن‌های هارزبورژیت و لرزولیت‌های واحد پریدوتیتی منطقه چهار دهنه حدود (۸۱-۹۰) است.

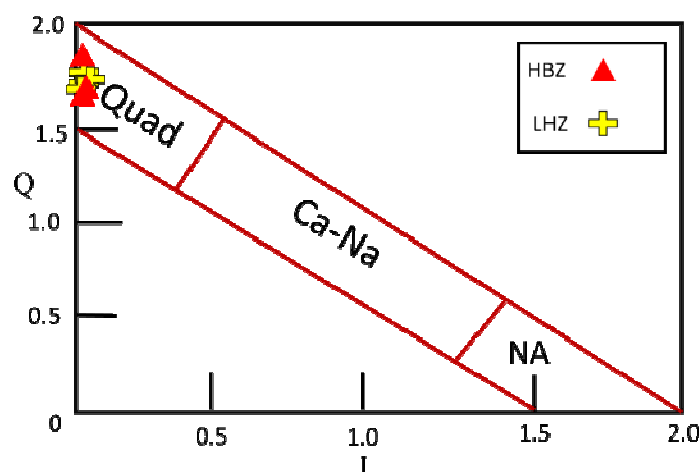
مقدار  $\text{Cr}_2\text{O}_3$  آنها بین ۱ تا ۱٫۵ درصد وزنی متغیر بوده و مقدار  $\text{TiO}_2$  در این پروکسن‌ها کمتر از ۲ درصد وزنی است که نشان دهنده ماهیت تهی شده سنگ‌های گوشته‌ای از عناصر ماگما دوستی مانند تیتانیوم است [۱۱]. ترکیب شیمیایی پروکسن‌های هارزبورژیت و لرزولیت‌های منطقه چهاردهنه بر اساس نمودار سه تایی ارائه شده در مرجع [۱۲] (شکل ۶) در گستره دیوپسید قرار دارد. در نمودار مرجع [۱۲] (شکل ۷)، که برای تعیین نوع پروکسن‌های آهنی، کلسیمی، منیزیمی و پروکسن‌های فلسی یا به اصطلاح قلیایی است، همه نمونه‌ها در گستره پروکسن‌های آهن-منیزیم-کلسیم (Quad) و یا پروکسن‌های با کلسیم و منیزیم بالا قرار دارند [۱۳].



شکل ۵ نمودار تعیین نوع الیون‌ها [۱۰] که بر پایه آن ترکیب الیون‌های همه نمونه‌ها مورد بررسی در گستره فورستریت قرار دارند.



شکل ۶ نمودار تعیین نوع کلینوپروکسن‌ها [۱۲] که بر اساس آن، ترکیب کلینوپروکسن‌های منطقه در گستره دیوپسید است.



شکل ۷ نمودار تعیین نوع شیمی و محیط تشکیل کانی کلینوپیروکسن [۱۲] که بر پایه آن کلینوپیروکسن‌ها در گستره Quad قرار دارند ( $J=2Na$ ,  $Q=Ca+Mg+Fe^{2+}$ )

شده‌اند [۱۷] و همچنین نسبت مقدار  $Fe^{3+}/Fe^{2+}$  در مذاب طی تبلور کانی اسپینل ۱ به ۳ است و این نسبت با کاهش دمای ماگما تا ۱۰۵۰ درجه سانتی‌گراد بین فاز جامد و مذاب ۱:۱ می‌شود [۱۷، ۱۸].

الیون و اسپینل (پالئونست): بر اساس شکل‌های ۹ الف و ب، لرزولیت و دونیت‌های منطقه چهاردهنه برآمده از ذوب بخشی ۲۵ درصدی یک گوشته فقیر از تیتانیوم در یک محیط ابرفرورانش هستند [۱۹-۲۱]، با توجه به شکل‌های ۹ پ و ت [۲۲]، دونیت‌ها نیز با پیروی از روند واکنشی دونیت‌ها و میزان ذوب بخشی ۲۵ درصدی گوشته نتایج بالا را تأیید میکنند و میتوان چنین نتیجه گرفت که واحد پریدوتیتی منطقه چهاردهنه شامل هارزبورژیت، دونیت و لرزولیت ناشی از ذوب ۲۵ درصدی گوشته در شرایط آبدار در معرض نظام کبشی هستند [۲۳-۲۶].

#### برداشت

مجموعه پریدوتیتی چهاردهنه شامل از عدسی‌های دونیتی، توده‌های هارزبورژیتی و لرزولیتی است، بافت غالب این سنگ‌ها دانه شکفتی و کمتر دانه‌ای است. کانی‌های تشکیل دهنده این سنگ‌ها الیون (فورستریت)، ارتوپیروکسن (انستاتیت)، کلینوپیروکسن (دیوپسید) و اسپینل (پالئونست آهن‌دار) هستند. بر اساس روابط دماسنجی و فشارسنجی پیروکسن‌های موجود در لرزولیت و هارزبورژیت‌های منطقه چهاردهنه در گستره دمایی ۱۱۵۰-۱۲۰۰ درجه سانتی‌گراد و

#### تعیین محیط زمین‌ساختی ماگمایی و زمین‌دما-فشارسنجی

کلینوپیروکسن: استفاده از ترکیب شیمیایی کانی‌های گروه پیروکسن از ابزارهای کاربردی در دما-فشارسنجی سنگ‌های آذرین است. برپایه هم‌دماهای سولووسی در چهار ضلعی En-Fs-Di-Hd [۱۴]، دمای تبلور کانی کلینوپیروکسن‌های هارزبورژیت و لرزولیت‌های چهاردهنه بین ۱۱۵۰-۱۲۰۰ درجه است. براساس مدل مرجع [۱۵]، فشار تبلور با مقدار آب ۱۰ درصد وزنی ۵ کیلوپار ماگما است (شکل ۸). در این راستا، براساس پژوهش‌های انجام شده [۱۶]، پیروکسن‌های منطقه در گستره دمایی ۱۱۵۰ تا ۱۲۰۰ درجه سانتی‌گراد متبلور شده‌اند که با نتایج دماسنجی روش پیشین را همخوانی دارد (شکل ۸ پ).

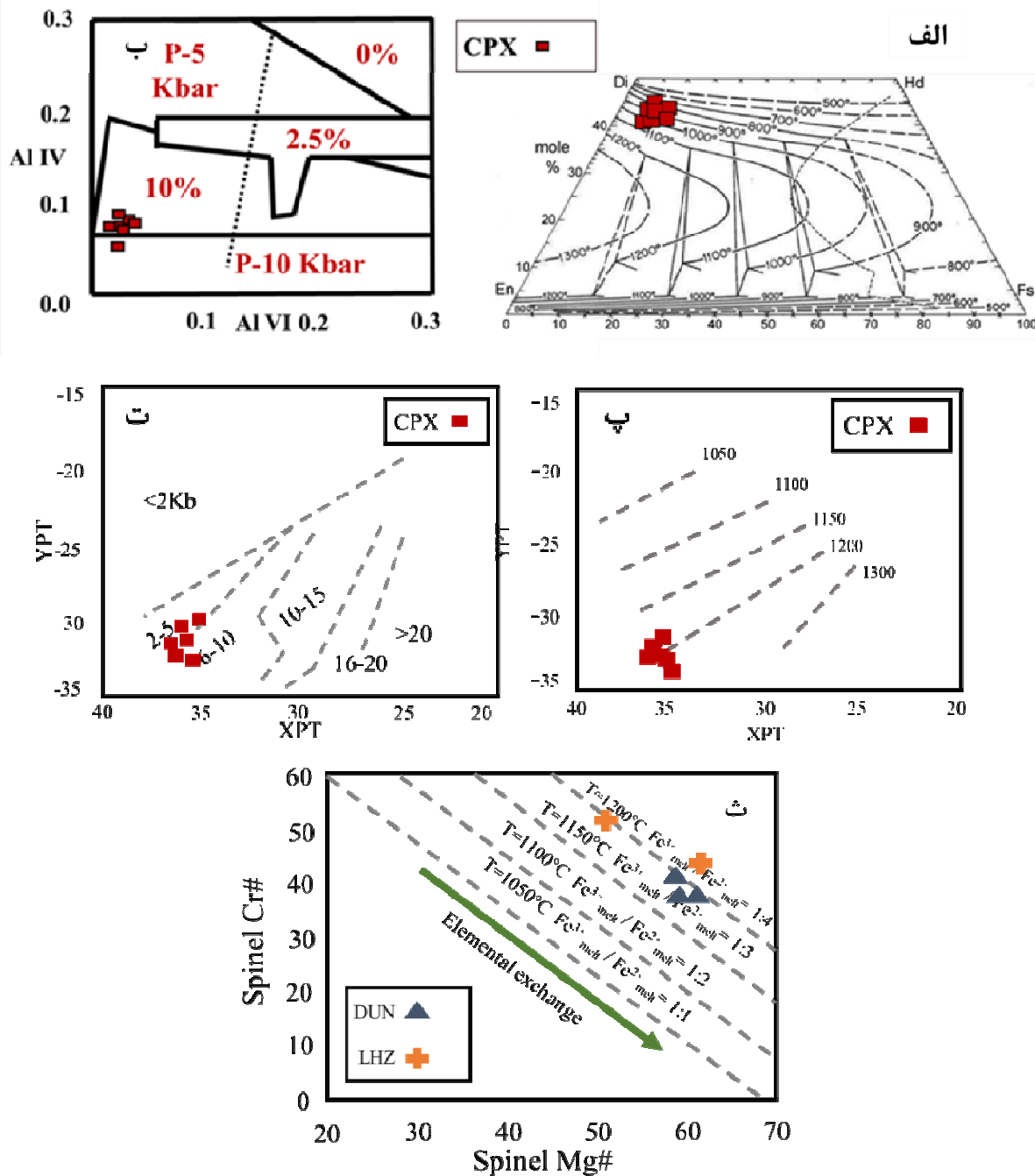
پژوهشگرانی نیز براساس داده‌های تجزیه نقطه‌ای، یک روش فشارسنجی ارائه دادند [۱۶]. براساس این فشارسنج، پیروکسن‌های لرزولیت و هارزبورژیت‌های چهاردهنه در گستره فشار ۲ تا ۶ کیلوپار متبلور شده‌اند (شکل ۸ ت) که این به همراه یافته‌های دیگر از فشارسنج‌ها (شکل ۸ ب)، درستی نتایج بدست آمده را تأیید می‌کنند.

از آنجا که اسپینل در برابر فرسایش و فرآیندهای پسا-ماگمایی مقاوم است، شیمی کانی آن شاخص خوبی برای دماسنجی در علم زمین‌شناسی بشمار می‌رود. گزارش شده است که اسپینل‌های دونیت و لرزولیت‌های منطقه چهاردهنه در گستره دمایی ۱۱۵۰ تا ۱۲۰۰ درجه سانتی‌گراد متبلور

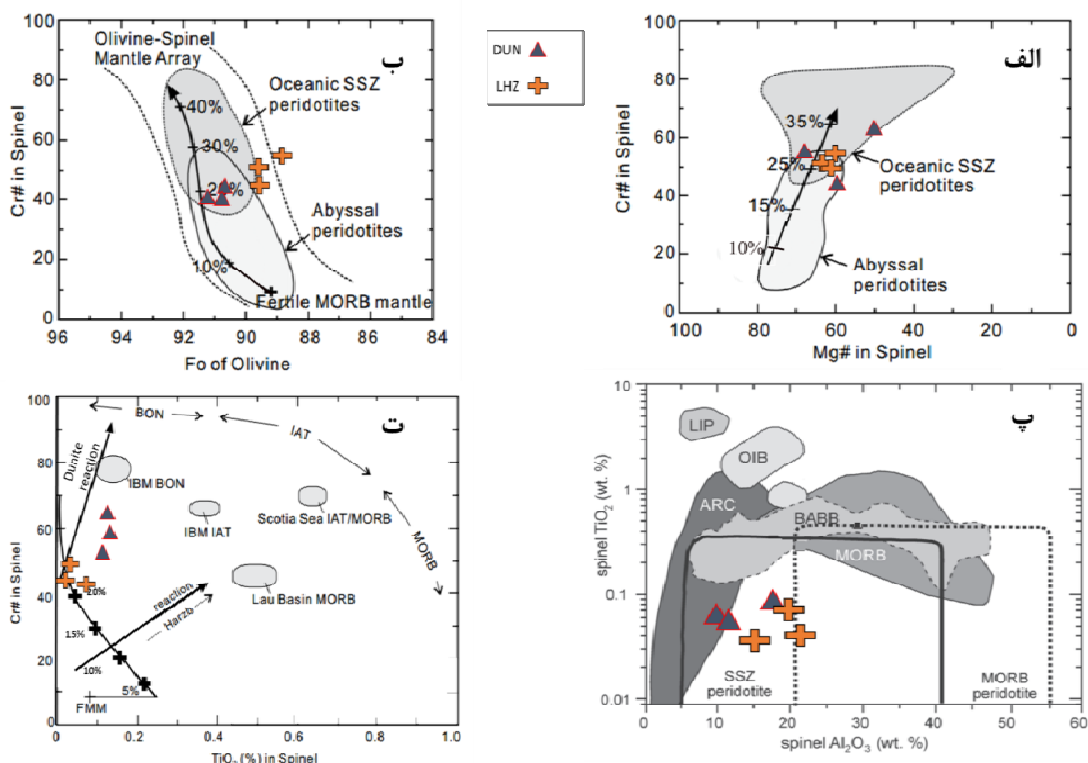


قوس پس از ذوب بخشی ۲۵ درصدی تشکیل شده و سپس در اثر فرآیند های زمین‌ساختی روی زمین جایگیری کرده است. این محیط ناشی از فرورانش اقیانوس نتوتیس به زیر پهنه ایران مرکزی است [۲۷-۳۰].

در فشار ۲ تا ۶ کیلوبار با فشار بخار آب ۱۰ درصد متبلور شده- اند. کانی کروم‌اسپینل این سنگ ها نیز از نوع پالئونست آهن‌دار بوده و در گستره دمایی ۱۱۵۰ تا ۱۲۰۰ درجه سانتی‌گراد متبلور شده است. این واحد پریدوتیتی در یک محیط پست-



شکل ۸. الف) تعیین دمای کلینوپیروکسن‌های منطقه چهار دهنه براساس روش مرجع [۱۴]. ب) تعیین مقدار آب ماگما و فشار هنگام تبلور با استفاده از روش مرجع [۱۵]. پ) شاخص دماسنجی برای کانی کلینوپیروکسن بر اساس مدل مرجع [۱۶]. ت) نمودار فشارسنجی برای کانی کلینوپیروکسن برگرفته از مرجع [۱۶] و ث) دماسنجی با استفاده از شیمی کانی اسپینل برگرفته از مدل مراجع [۱۷، ۱۸].



شکل ۹ الف) تعیین محیطی زمین ساختمانی ماگمایی و میزان ذوب بخشی پریدوتیت‌های منطقه برپایه عدد منیزیوم نسبت به عدد کروم موجود در اسپینل‌ها [۱۹]، (منطقه ابرفرورانش برگرفته از مرجع [۲۰] است) ب) نمودار تعیین میزان ذوب‌بخشی و محیط زمین‌ساختی ماگمایی با استفاده از عدد منیزیوم الیون‌های همزیست با اسپینل‌ها [۲۰] (محیط ابرفرورانش برگرفته از مرجع [۱۹] است). پ) نمودار تعیین محیط زمین‌ساختی ماگمایی برپایه مقدار اکسید آلومنیوم نسبت به اکسید تیتانیوم موجود در کانی اسپینل [۲۰]. ت) نمودار اکسید تیتانیوم نسبت به عدد کروم کانی اسپینل [۲۱] که در گستره ذوب ۲۵٪ قرار دارند و نمونه‌های دونیتی از روند واکنشی دونیت‌ها پیروی می‌کنند.

IBM—Izu-Bonin-Mariana; BON—boninite; IAT-island-arc-tholeiite; MORB-mid-oceanic-ridge-basalt; FMM-fertile; MORB- mantle; Harzb-harzburgite.

## مراجع

into the geodynamics of Neo-Tethys in the Makran area: Evidence from age and petrology of ophiolites from the Coloured Mélange Complex (SE Iran). Gondwana Research,(2017).

[5] McCall, G. J. H. and Kidd, R. G. W., , *The makran, Southeastern Iran: the anatomy of a convergent plate margin active from the Cretaceous to Present. In: Trench-forearc Geology*, J. K. Leggett (ed), Geological Society Special Publication, (1982) No. 10. pp. 387-397.

[6] Grando G. and McClay K.,. *Morphotectonics domains and structural styles in the Makran accretionary prism, offshore Iran. Sedim. Geol.*, 196: (2007) 157-179.

[1] Stocklin g., "Possible ancient continental margin in Iran", In: Burk C.A., Grake C.L. (Eds.), *Geology of continental margins*,Springer, New York.. (1974) 873-887.

[2] Safaïi M., "Geochemistry and Geology of Fariab Hormozgan Chromite ore Deposit, MSc. Thesis, Geology", economic geology branch, Faculty of science, Shiraz University,(1992).

[3]Salehi S., "Petrography and geochemistry of Mt.Groom ultrabasic of Rudan, MSc. Thesis", Geology of Hormozgan University. (2015) P.166.

[4] Emilio Saccani , Asghar Dolati , Morteza Delavari , Michele Marroni , Luca pandolfini , Marco Chiari , Edoardo Barbero , *New insights*

- [18] Yang Bai, Ben-Xun Su, Yan Xiao, Davide Lenaz, Patrick Asamoah Sakyi, Zi Liang, Chen Chen, Sai-Hong Yang, "Origin of Reverse Zoned Cr-Spinels from the Paleoproterozoic Yanmenguan Mafic-Ultramafic Complex in the North China Craton", *Minerals* (2018), 8, 62
- [19] Gholamreza Ghadami, Habib Ebadi, Jaber Jamalpour, *Geo thermometry and barometry and origin of jaghin gabbros, SE rudan, hormozgan province, Iran*, Iranian Journal of Crystallography and Mineralogy, (2019) Vol 26, p 845-856,
- [20] Dick HJB, Bullen T. *Chromian spinel as a petrogenetic indicator in abyssal and alpine-type peridotites and spatially associated lavas*. *Contrib Mineral Petrol* 86, (1984), 54-7.
- [21] Bridges, J.C., Prichard, H.M., Meireles, C.A., *Podiform chromitite-bearing ultrabasic rocks from the Braganca massif, northern Portugal: fragments of island arc mantle? Geol. Mag.*, (1995), 132: 39-49.
- [22] Kamenetsky V.S., Crawford A.J., Meffre S., *Factors controlling chemistry of magmatic spinel: an empirical study of associated olivine, Cr-spinel and melt inclusions from primitive rocks*, *Journal of Petrology*, (2001), 42, 655-671.
- [23] Pearce, J.A., Barker, P.F., Edwards, S.J., Parkinson, I.J., and Leat, P.T., *Geochemistry and tectonic significance of peridotites from the South Sandwich arc-basin system, South Atlantic*, *Contributions to Mineralogy and Petrology*, (2000), v. 139, p. 36-53.
- [24] Harald Furnes, Inna safanova., *Ophiolites of the Central Asian Orogenic Belt: Geochemical and petrological characterization and tectonic settings*, *Geoscience frontiers*, (2019).
- [25] Julian A. Pearce, Robert J. Stern, Sherman H. Bloomer, Patty Fryer, *Geochemical mapping of the Mariana arc-basin system: Implications for the nature and distribution of subduction components*, *American Geophysical Union*, volume 6, (2005), Q07006.
- [26] Wu, W.-W., Yang, J.-S., Dilek, Y., Milushi, I., and Lian, D.-Y., *Multiple episodes of melting, depletion, and enrichment of the Tethyan mantle:*
- [7] B. Ronald Frost and Carol D. Frost, *Essentials of Igneous and Metamorphic Petrology*, Cambridge University Press, (2014), P 90-106.
- [8] Deer WA, Howie, RA, Zussman J. *An introduction to the rock-forming minerals*. Harlow, UK: Longman Scientific and Technical, (1992), P.528.
- [9] Mutlu ÖZKAN, Ömer Faruk ÇELİK, *Origin of the pleonaste-bearing mafic-ultramafic rocks from the Armutlu peninsula, NW Turkey*. *Turkish J Earth Sci*, (2018) Vol 27 : P 1-24 .
- [10] Mercier J. C. C., Nicolas, A., *"Textures and fabrics of the upper mantle peridotites as illustrated by basalt xenoliths"*, *Journal of Petrology* 16, (1975), 454-487.
- [11] Yildirim Dilek, Jingsui Yang. *Ophiolites, diamonds, and ultrahigh-pressure minerals :New discoveries and concepts on upper mantle*. The Geological Society of America, (2018), 10 (1) 3-13.
- [12] Deer WA, Howie, RA, Zussman J. *An introduction to the rock-forming minerals*. Harlow, UK: Longman Scientific and Technical, (1992), 696 P.
- [13] Rampone, E., Piccardo, G. B. and Hofmann, A. W., *Multi - stage melt rock interaction in the Mt. Maggiore (Corsica, France) ophiolitic peridotites: microstructural and geochemical evidence*. *Contribution to Mineralogy and Petrology* (2008) 156: 453-475
- [14] Lindsley D. H., *"Pyroxene Geothermometry"*, *American Mineralogist*, 68, (1983), 477-493.
- [15] Helz R. T., *"Phase relations of basalts in their melting range at PH20= 5 kb as a function of oxygen fugacity"*, *Journal of Petrology* 14, (1973) ,249-302.
- [16] Soesoo A., *"A multivariate statistical analysis of clinopyroxene composition: empirical coordinates for the crystallization PTestimations"*, *Geological Society of Sweden (Geologiska Föreningen)* 119 (1997) 55V60.
- [17] Sack, R.O.; Ghiorso, M.S. *"Chromite as a petrogenetic indicator"*. *Rev. Mineral. Geochem.* (1991), 25, 323-353.

Iranian Journal of Crystallography and Mineralogy, (2019) Vol 26, p 989-1000.

[29] Agard P., Omrani J., Jolivet L., Whitechurch H., Vrielyn B., Spakman W., Monie P., Meyer B., Vortel R., "Zagros orogeny: a subduction-dominated process, Cambridge geol mag press, ,(2011), p 1-34.

[30] Fatemeh Chanideh, Gholamreza Ghadami, Seyed Mohsen Mortazavi, "Chemical mineral and petrogenesis Sorkh band Ultramafics of Kahnuj-Roudan Ophiolite belt (Nazdasht area), example of refractory residual alpine peridotite", Iranian Journal of Crystallography and Mineralogy,(2018) Vol 26 , p703-716.

*Petrogenesis of the peridotites and chromitites in the Jurassic Skenderbeu massif, Mirdita ophiolite, Albania*, Lithosphere, (2018), v. 10, p. 54–78.

[27] Morteza Delavari, Asghar Dolati, Michele Marroni, Luca Pandolfi, Emilio Saccani, *Association of MORB And SSZ ophiolites Along the shear Zone between coloured melange And bajgan complexes (north makran, iran): evidence from the sorkhband Area* , Ofioliti, (2016), 41 (1), 21-34 - doi: 10.4454/ofioliti. (2016), v41i1.440.

[28] Maryam Yazdani, *Magma genesis in the supra-subduction zone of the Piranshahr ophiolite complex based on the mineral chemistry of clinopyroxene in the North West basalts of Iran*,